

① Διεργασία εγκατάλειψης γρίφων συνοπλίγων

Διαγράφεται η διαμέτρος εγκατάλειψης Nyquist

Διαγράφεται Nichols.

Τετραγωνικός περιούσιος, αντικατοπτρικός γρίφος, ευρωπαϊκός γρίφος

(Conformal mappings)

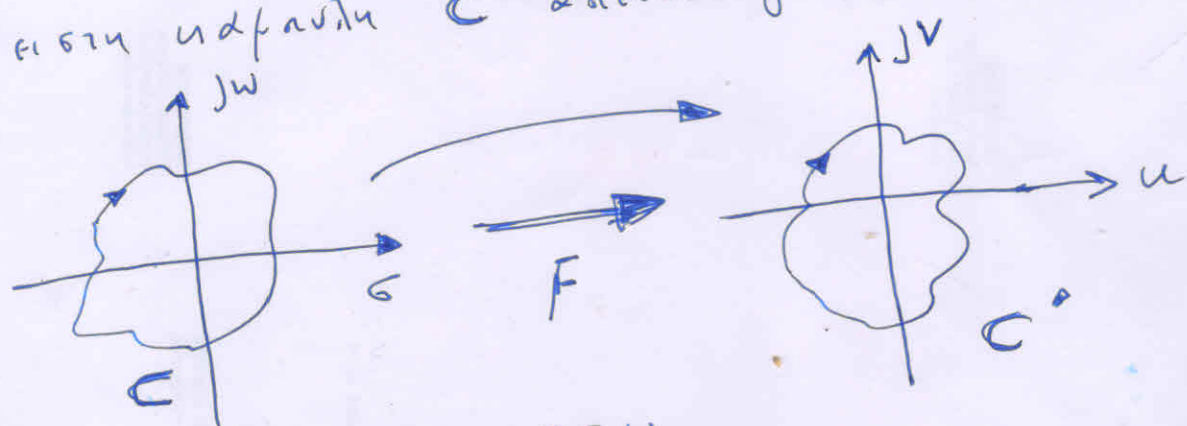
Συντοπής αντικατοπτρισμού

Εφόσον $s = \sigma + j\omega$ με αντικατοπτρισμό $F(s) : s \rightarrow s'$

Τετραγωνικός γρίφος

$$s' = F(s) = u + jv \text{ οπου } s = \sigma + j\omega$$

Η αντικατοπτρισμένη γρίφη C' αντικατοπτρίζεται στην γρίφη C .



ΠΧ

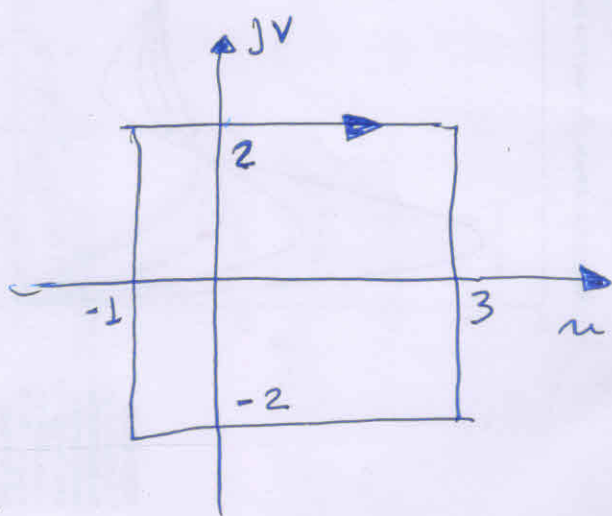
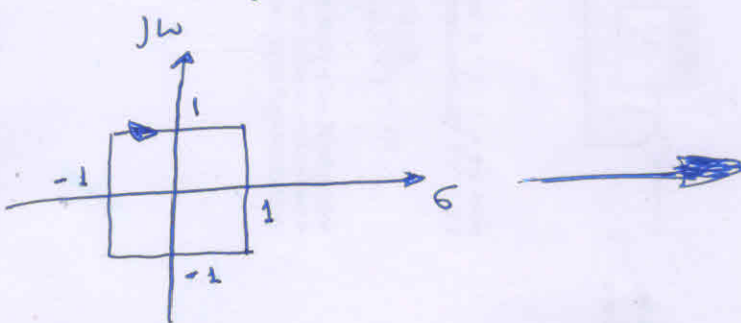
$$\epsilon_{\text{εφώ}} \quad F(s) = 2s + 1$$

Οδογράφηση

$$s' = u + jv = F(s) = 2(s + j\omega) + 1 = (2s + 1) + j2\omega$$

$$\text{Άριθμος } u = 2s + 1$$

$$v = 2\omega$$

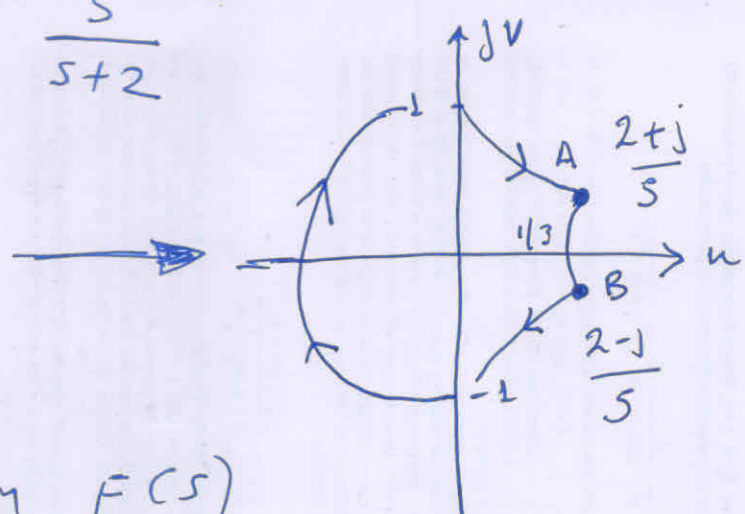
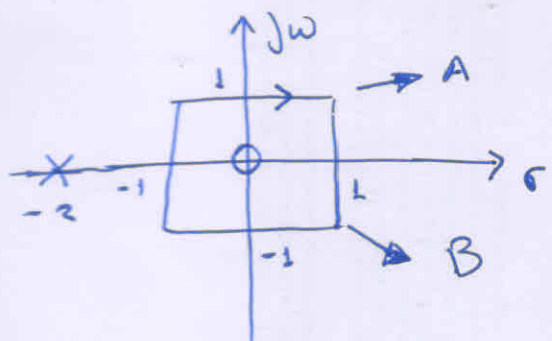


Η αντικατοπτρισμένη γρίφη συνοπλίγων

Οταν στην ποντίδα να σχηματίσεται η μη φορητή συνοπλίγων

② Eunuchs εντιαγερηδοτε γραμμες αντινομιας Ε(5)

$$\text{try and } F(s) = \frac{s}{s+2}$$



ЕГУ нууцын алгоритмы $F(S)$

ՃՆՇՔՐԴԻ ԽՀԱՌԱՎՈՐՈՒՄ ԵՎ ՀԱՐՄԱԿ ԵՎ ԾԱՌԱՎՈՒՄ ՃՆՇՔՐԴՈՒՄ
ՃՆՇՔՐԴՈՒՄ Ի ՊԵՏ

$$F(s) = 1 + L(s) = 1 + G_C(s)G(s) = \frac{m}{\prod_{c=1}^m (s+z_c)}$$

$$1 + \frac{N(s)}{D(s)} = \frac{D(s) + N(s)}{D(s)} = K \frac{\prod_{j=1}^n (s+p_j)}{\prod_{j=1}^n (s+p_j)}$$

↑ popuis (udravas Mason)

$$\Delta(s) = F(s) = 1 - \sum L_i + \sum L_i L_j = 0$$

fix configuration normal or open

H F(s) Bpiouenai olov Adpoovofgin tw) GUVDYHNG
yeddy-pas) non enofeww ro GUVDYH EUDY EVGADH olov
o_λ id yurrevia tw) GUVDYHNG yeddy-pas spionnde
670 dp161fp0 yifdviws nifninfro.

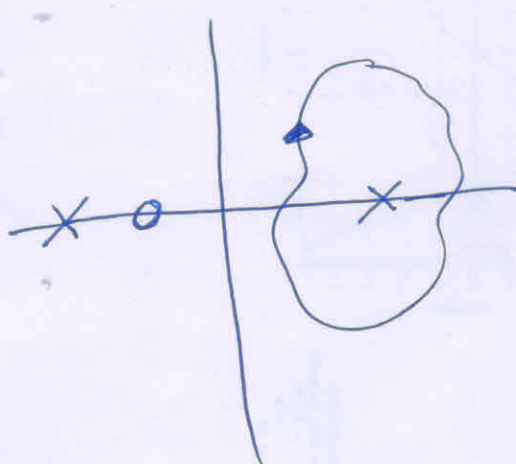
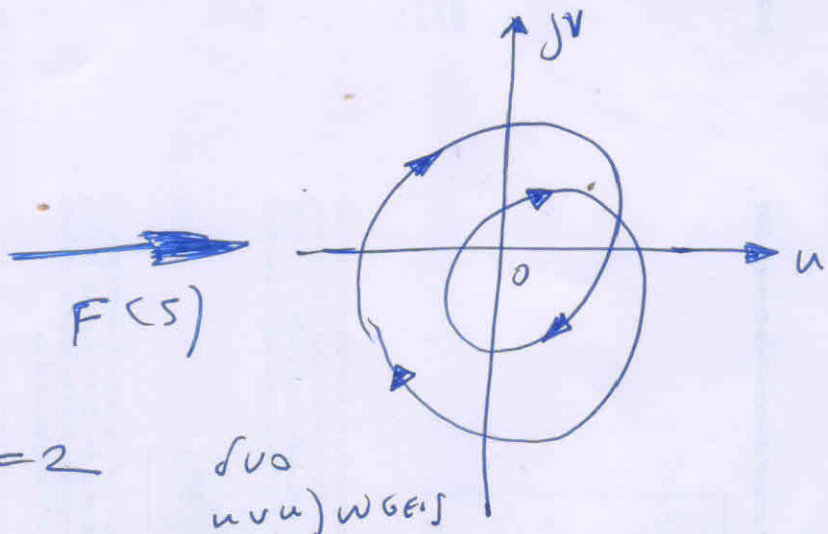
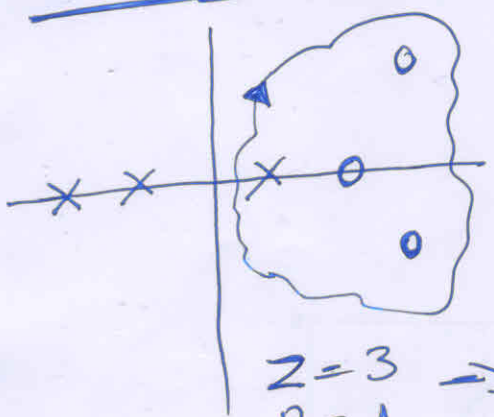
Enzyme action mechanism C has feedback inhibition now
negative feedback always tends towards normal values and prevents extremes of enzyme activity
 Enzyme / antienzyme $F(s)$ and $C^* = F_F$ and
 Inhibition mechanism $C = F_S$ where $\alpha \approx 1 - \frac{F(S)}{F(S_0)}$

③ Gewöhnliche Cauchy (Xwpij xnoratén)

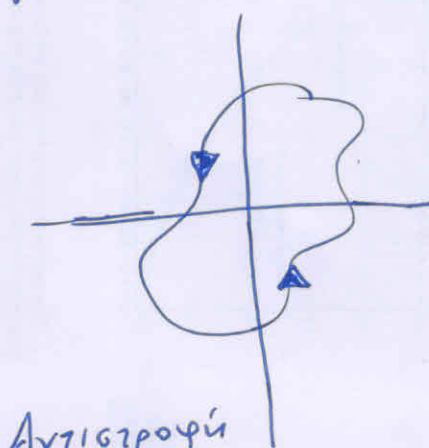
Εστιώ $f(z)$ η οποία υπάρχει στην γεμέλια περιοχή Ω και έχει σημεία απόστασης P από την γεμέλια περιοχή. Τότε $\int_{\Gamma} f(z) dz$ είναι ίση με τη διαφορά των αποτελεσμάτων της γεμέλιας περιοχής Ω και της περιοχής $\Omega \setminus P$.

$\int_{\Gamma} f(z) dz = \int_{\partial\Omega} f(z) dz - \int_{\partial(\Omega \setminus P)} f(z) dz$. Στην περιπτώση αυτή, η ειδούδια περιοχή $\Omega \setminus P$ έχει $N = Z - P$ σημεία απόστασης ρ από την γεμέλια περιοχή.

Addes απειπώσεις



$$Z=1 \Rightarrow N=Z-P=-1$$



Αντιστροφή
φοράς
διαδικασίας

④ Kriptio Nyquist

Εστω η χαρακτηριστική εξίσωση

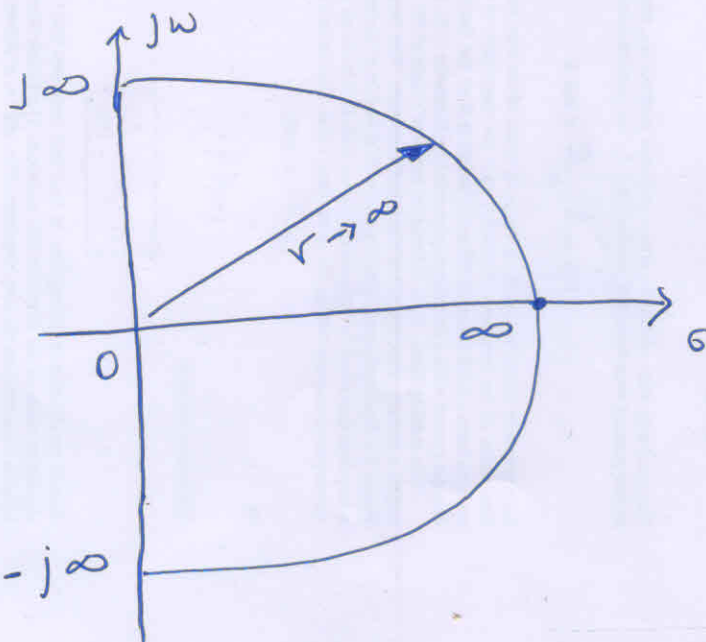
$$F(s) = 1 + L(s) = K \frac{\prod_{i=1}^m (s + z_i)}{\prod_{j=1}^n (s + p_j)}$$

Αποτίθενται σε γενικό

βαθμού τους θετικοί αριθμοί καταγράφεται σα γυρεύει
την $F(s)$ και είναι αποτέλεσμα γιαδίσμα μηλούντος

Γενικώς ως αντίδοτο της $F(s)$ οι τις πρώτες m αριθμούς
σε φεγγαράκι της μονάδας π που έχουν ως σημεία για την
μηλούντος (εάν σε γενικό είναι γενικός, αλλά για
αριθμό ΔΕΝ θετικού να απλεξει παρενθήσεις) $F(s)$

ως τεράστια αριθμός επιπλέοντα μηλούντος να είναι
γενέρων της δεξιάς ($0, i\omega$) του για την παρενθήση
αντίρρησης $R \rightarrow \infty$ (μηλούντος Nyquist)



(το συντελεστή είσιται από την σύνθετη
αριθμούς της γενικότερης γενικότερης)

Αυτή μηλούντος
χρησιμοποιήστε
την τελευταίαν
αριθμούς της για
την απόπολη
είναι αντίδοτος
 $F(s)$ να προστελέψετε
την της γενικότερης
επιπλέοντα μηλούντος
επιπλέοντα μηλούντος
αριθμούς της γενικότερης

(5) Σιδημαρείστε σύγκριση ευρυτάτης, συδριμού στην
γενετική αντίληψης $F(s)$, με την γενετική
Nyquist Γ_S αντίληψης και την σύγκριση
υπότιμης F_F με την $F(s)$. Η υπότιμη υπότιμη
 $F_F = F(\Gamma_S)$ είναι ημέρη με την πρόσθια Nyquist
(Nyquist Plot). Από την Nyquist plot είναι
ειδούσας υπότιμης Nyquist (Nyquist contour)
είναι η μετατόπιση της γενετικής αντίληψης $F(s)$ με οριζόντια
μέτωπη στην αντίληψη $F(s)$ με οριζόντια
μέτωπη στην γενετική.

This explains

- 1) Σιδημαρείστε σύγκριση αντίληψης $F(s)$ με την γενετική αντίληψη $F_F = F(\Gamma_S)$ στην Γ_S όπου Γ_S είναι ημέρη με οριζόντια μέτωπη $\Gamma \rightarrow \infty$ που απεπικλίνεται σε διαγώνια γραμμή μετατόπισης (Nyquist contour) και την σύγκριση με την $F(s)$.
- 2) Μεταπούστε την αντίληψη F_F στην γενετική αντίληψη $F(s)$ στην γενετική F_F $(0,0)$ την εμπειρία $F(s)$ με την υπότιμη F_F .
- 3) Από τη διαπραγμάτευση Cauchy εξαύτε $Z = N + P$
Επίσημη σύγκριση σε σχέση με την γενετική $F(s)$ είναι $P = 0$
Στη γενετική $Z = N$

⑥ Η αλφαριθμητική μεθοδος είναι η πιο γρήγορη για την επίλυση των μαθημάτων
 Για, με την τεχνική αυτή σύμφωνα με την επίλυση των ιδιαίτερων
 των γυρίσματων της $F(s)$ ως στήλη γρίφους από την πλευρά
 της αναλογίας και της πλευράς της συνάρτησης για την επίλυση των
 γεγονότων των συστημάτων.

Еду Йорнсър съди $N \neq 0$ за овсянка съдът

agendas

W 62060 61W 1923y Xerophyous waters side open land

Eivdr

$$F(s) = 1 + L(s) \rightarrow F'(s) = L(s) = F(s) - 1 = G_C(s)G(s)$$

Ani jia nuv $F(s)$ out yepai va xeng ton nongouf tuu
 $f'(s) = L(s)$ dotor suru nejdjon nolordu us $G_C(s)G(s)$

$$\text{If } \alpha F(s) = 0 \text{ given } F'(s) = -1$$

Erfüllt er nur die Voraussetzung der Separation? Es gilt $\det(A - \lambda I) = (-1)^n$. Da $\lambda = 0$ eine Eigenwert von A ist, ist A nicht separabel.

To mængder Nyquist en ved sidstnævnte jævnværdi er ikke ens

SOS Evx guarfar ye avdospagy elvn fugitivis ar udu
i. e. locum vagabundum FL 620 rigidissima emittit ro

Exemplo: A função $y = x^2$ é par e crescente em \mathbb{R} . Seja $P = (-1, 0)$ um ponto de \mathbb{R}^2 . O menor número real p para o qual a reta $y = px$ é tangente à parábola $y = x^2$ no ponto P é:

DEN nepern) tieq no qutko (-3, -),
noruw P gtu setzi yifdviso myienintvo elvde $P = 0$. ear
kunqal sugetdes xw uuforsad

Ενδιαφέροντα είναι τα περιστατικά στα οποία η μεταβολή της ποσότητας των εγκαταστάσεων διαφέρει από την προσδοτική.

$$N = P \left(\text{dopoviště elv u } Z_{\alpha} = 0 \right)$$

7

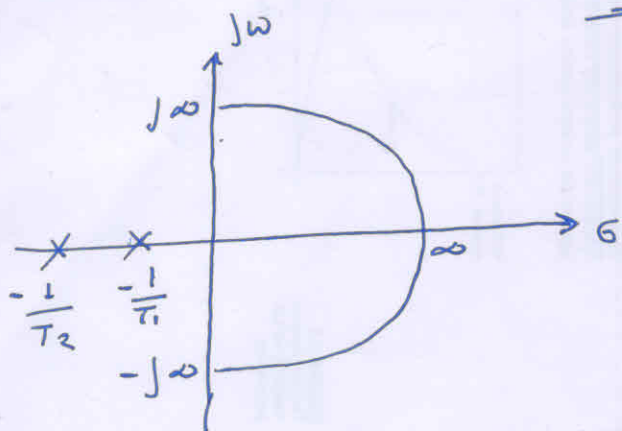
ΠΑΡΑΔΕΙΓΜΑ

($K=1000$)

$$\text{εστια } L(s) = \frac{K}{(T_1 s + 1)(T_2 s + 2)}$$

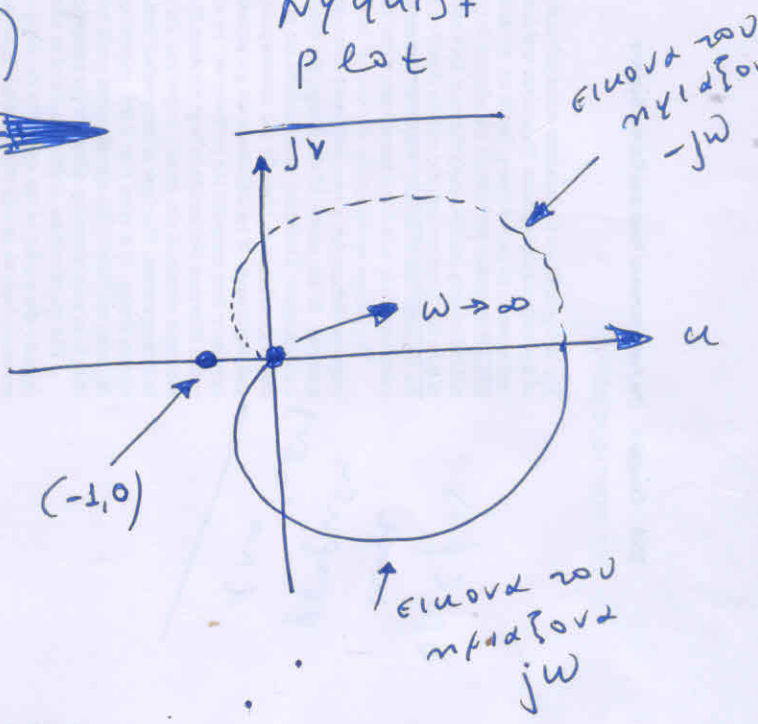
$$\text{Πολυων} \quad P_1 = -1/2j \quad P_2 = -1/2j$$

Nyquist
contour



$F(s)$

Nyquist
plot



Ταχείαριθμός

Δεν υπάρχουν λοδώι στο δέλτιο για πάσιν νύκλια ($P=0$)

To σημείο $(-1, 0)$ Δεν υπάρχει λοδώι στο δέλτιο

Άρα $Z=N=0 \Rightarrow$ Δεν υπάρχει γυρτεία στο δέλτιο για πάσιν νύκλια στο δέλτιο.

Συνεπώς γενικός επιλογής στο δέλτιο για την παραγωγή λοδών στο δέλτιο.

επιλογή γενικής επιλογής στο δέλτιο

ευραρχή

Συνεπαγέδια οριστική στην παραγωγή λοδών στο δέλτιο

To σημείο $(-1, 0)$ στη γιαγιά του Nyquist δεν μετατρέπεται σε λοδών στο δέλτιο (δεξερών) πολό γενικής παραγωγής λοδών στο δέλτιο για πάσιν νύκλια στο δέλτιο. Πού;

9

NAP 2.5.1.8 f) 2. c) i) 5. b) (Dorf, Examen 9.3)

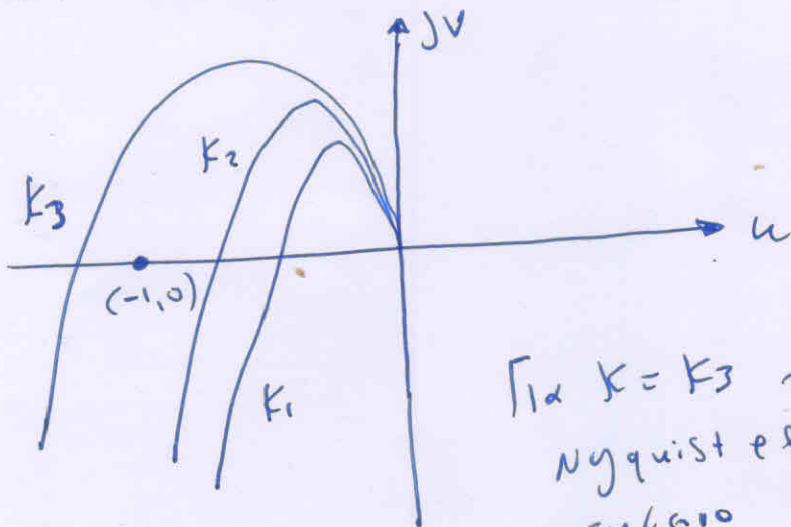
$$\underline{\text{G}(s)} \quad L(s) = G_c(s) G(s) = \frac{K}{s(sT_1 + 1)(sT_2 + 1)}$$

$$\underline{\text{A}(\omega)} \quad L(j\omega) = \frac{K}{j\omega(j\omega + 1)(j\omega T_2 + 1)} = \frac{-K(T_1 + T_2) - j \frac{K}{\omega} (1 - \omega^2 T_1 T_2)}{1 + \omega^2 (T_1^2 + T_2^2) + \omega^4 T_1^2 T_2^2} =$$

$$= \frac{K}{\sqrt{\omega^4 (T_1 + T_2)^2 + \omega^2 (1 - \omega^2 T_1 T_2)^2}} \left[-\tan^{-1}(\omega T_1) - \tan^{-1}(\omega T_2) - \frac{\pi}{2} \right]$$

(Vergleichen)

To Nyquist plot für $K_3 > K_2 > K_1$ exakt passend



Für $K = K_3$ m. auf der re. Nyquist geht nicht mehr auf der re. Seite $(-1,0)$

To unterscheiden zwei
Nyquist plot Tiefpass und Bandpass dargestellt exakt für folgende
Parameter wählte man y-axis. Apd. rückwärts in umgekehrter
Reihenfolge.

$$V = -\frac{K(1/\omega)(1 - \omega^2 T_1 T_2)}{1 + \omega^2 (T_1^2 + T_2^2) + \omega^4 T_1^2 T_2^2} = 0 \Rightarrow$$

$$1 - \omega^2 T_1 T_2 = 0 \Rightarrow \omega = \frac{1}{\sqrt{T_1 T_2}}$$

Für durchschnittliche Tiefen von ω zu auftrieblosen Totals eiven (10)

$$U = - \frac{K(T_1 + T_2)}{1 + \omega^2(\tau_1^2 + \tau_2^2) + \omega^4 \tau_1^2 \tau_2^2} \quad \left| \begin{array}{l} \omega^2 = \frac{1}{\tau_1 \tau_2} \\ \end{array} \right. = \frac{-K T_1 T_2}{T_1 + T_2}$$

$\int_1^2 \sqrt{1+x^2} dx$ $u = -1$ \Rightarrow $u = \sqrt{1+x^2}$

$$K' = \frac{T_1 + T_2}{T_1 T_2}$$

Avin eivh uan n opidum rifi nov K jio nw onoia no
ugrafen eivh (opidum) furgadis. Eav n rifi nov K du?ung*i*
no gurat - jivak deng em eav no K furg*i* o
Bacto) furgadis nov ugrafen no du?ardis

B29) Επιστρέψτε στην παραπάνω κεφαλαιού και να αποδώσετε με περιγραφή την επίδραση της γραμμής μεταβολής στην απόδοση της συστήματος. Σημειώστε ότι η γραμμή μεταβολής δεν είναι σταθερή στην παραπάνω παραγράφο. Η γραμμή μεταβολής στην παραπάνω παραγράφο είναι $G(s) = \frac{K}{s + 1}$. Από την παραπάνω γραμμή μεταβολής, οι ρίζες της είναι στην δεξιά πλευρά της σχετικής συνθέσης στον πλανόδιο σύστημα. Η γραμμή μεταβολής στην παραπάνω παραγράφο είναι σταθερή στην παραπάνω παραγράφο.

Aussteuerung der $|L(j\omega)|$ für $\omega = 0$ ergibt

$$-180^\circ \quad (\text{durch } N=0)$$

Aplikasi survei, contoh soal opsi C) Elvira o {ini:

II To neperigwpias utpouoi op. jem w1 u dūjngi gzo yfros
tov ausinforas o7av u ydgn elva $\phi = -180^\circ$
pli7uv onia ro ausinfor uadignti opidae evnade uonuv
enoid nws ro Nyquist plot si7pexeta dno ro aufeo (-1,0).

Neperigwpias ydgn (phase margin)

op. jem w1 u jwvid w) neastuv onia de npeai vd
neperigwpias ro Nyquist plot eti w6te ro aufeo noj
an1goxg eni curvuny $|L(jw)| = 1$ u d diej de dno
to aufeo (-1,0).

in 180°untal

n yf7dzonias ydgn ro $L(jw)$ uno uadignti yadvali
yf7dzonias ydgn ro $L(jw)$ of evn opidae evnade ausinfor
uno nws enoid nws ro Nyquist plot si7pexeta dno ro (-1,0)

Σε evn si7pexeta Bode no uadignti aufeo evnade (-1,0) an1goxg ro (0 dB, -180°)

(12) Digital Frequency Nichols

If given frequency response $G(j\omega)$ then $T(s) = G(s) \cdot G(j\omega)$
 If given $L(s) = G_c(s) G(s)$ then

$$T(s) = \frac{L(s)}{1+L(s)} \Rightarrow T(j\omega) = \frac{G_c(j\omega) G(j\omega)}{1+G_c(j\omega) G(j\omega)}$$

Geometries on $L(j\omega) = u + jv$ \odot \angle circle

$$T(j\omega) = \frac{u + jv}{1 + u + jv} = M(\omega) e^{j\phi(\omega)}$$

then

$$M = M(\omega) = |T(j\omega)| = \left| \frac{u + jv}{1 + u + jv} \right| = \frac{\sqrt{u^2 + v^2}}{\sqrt{(1+u)^2 + v^2}} =$$

$$= \sqrt{\frac{u^2 + v^2}{(1+u)^2 + v^2}} \quad \in \text{no frws}$$

$$M^2 = \frac{u^2 + v^2}{(1+u)^2 + v^2} \Rightarrow M^2 + M^2 u^2 + 2M^2 u + M^2 v^2 = u^2 + v^2 -$$

$$M^2 = u^2 + v^2 - M^2 u^2 - 2M^2 u - M^2 v^2 = (1-M^2)u^2 + (1-M^2)v^2 - 2M^2 u$$

$$\Rightarrow u^2 + v^2 - \frac{2M^2}{1-M^2} u = \frac{M^2}{1-M^2} \Rightarrow$$

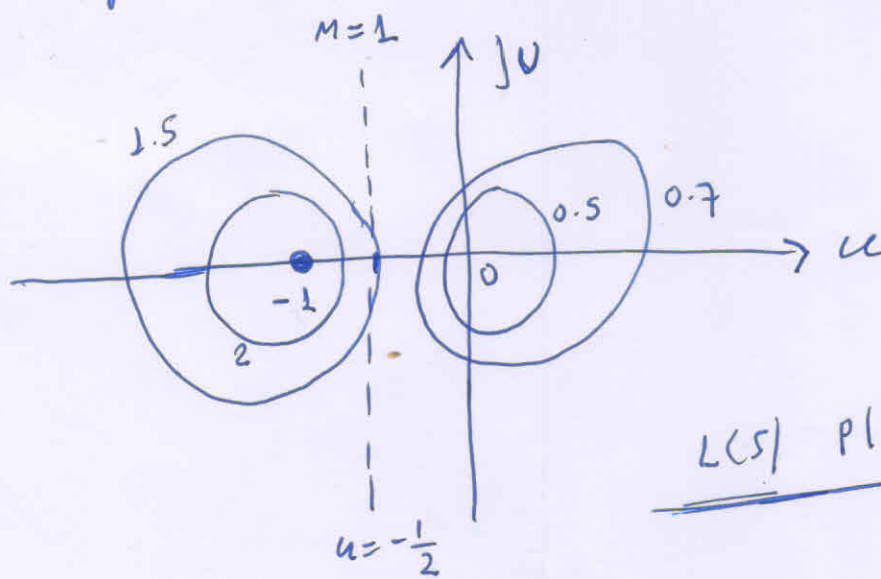
$$u^2 + v^2 - \frac{2M^2 u}{1-M^2} + \left(\frac{M^2}{1-M^2} \right)^2 = \frac{M^2}{1-M^2} + \left(\frac{M^2}{1-M^2} \right)^2$$

$$\left(u - \frac{M^2}{1-M^2} \right)^2 + v^2 = \left(\frac{M}{1-M^2} \right)^2$$

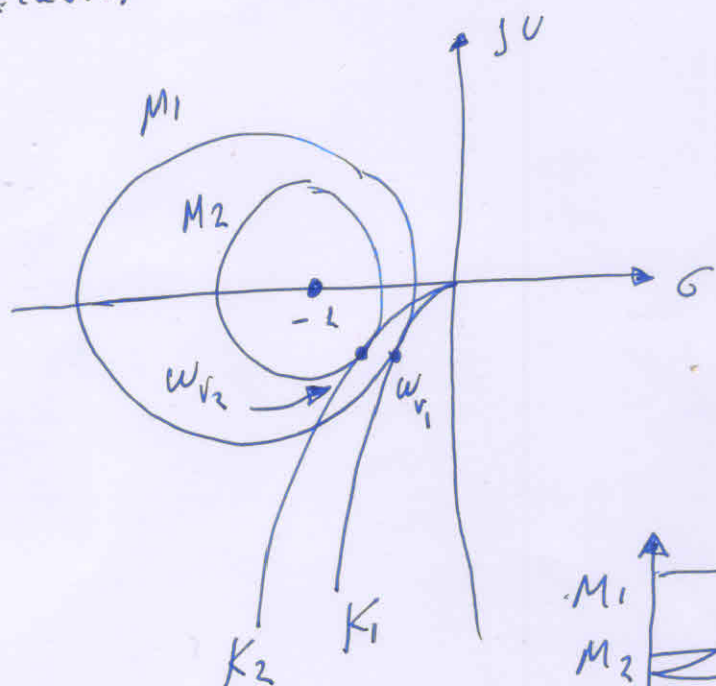
(13) Εξίσωση υψηλού φενόπου

$$(u, v) = \left(\frac{M^2}{1-M^2}, 0 \right) \text{ όπου } M = \sqrt{\frac{1}{1-M^2}}$$

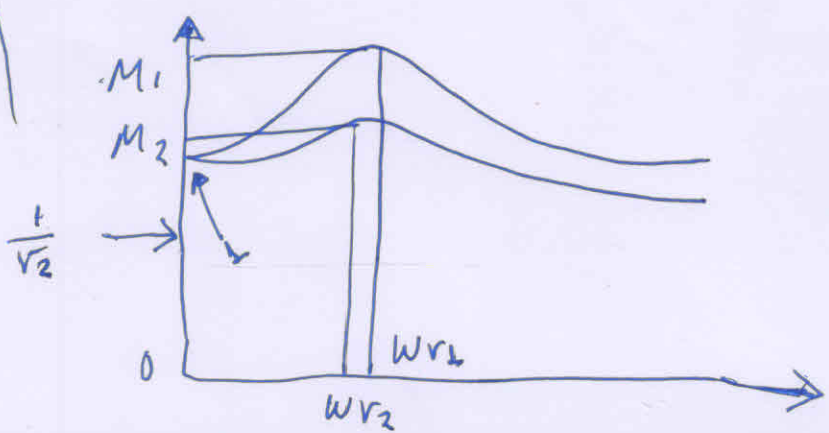
Αριθμός μετατόπισης M εξουφελεί την εναρμόνιση αυτού



Τα μέτρα γεννώνται για να περιορίσουν την απόσταση της συντελεστής γεννήσης



Οι μέτρα γεννώνται για να απορρίψουν την επαναλεγόμενη υψηλού φενόπου που απορρίπτεται από την αντίστροφη γραμμή $M_1 + M_2$ στην συχνότητα w_{r1} και w_{r2}



(14) Errechnen Sie die Frequenz $\varphi = \angle T(j\omega)$ exakt

$$\varphi = \angle T(j\omega) = \angle \frac{u+j\omega}{1+u+j\omega} = \tan^{-1}\left(\frac{\omega}{u}\right) - \tan^{-1}\left(\frac{u}{1+u}\right)$$

$$\Rightarrow \tan \varphi = N = \frac{u}{\omega} - \frac{\omega}{1+u} \quad \text{aus Sichtwinkel auf den} \\ \text{Nebenstrom}$$

Bsp. Gauß

$$\left(u + \frac{1}{2}\right)^2 + \left(v - \frac{1}{2N}\right)^2 = \frac{1}{4} \left(1 + \frac{1}{N^2}\right) \quad \text{nur Fokus}$$

Einheitsvektor \hat{u}

$$(u, v) = \left(-\frac{1}{2}, \frac{1}{2N}\right) \quad \text{und} \quad P = \frac{1}{2} \sqrt{1 + \frac{1}{N^2}}$$

Xpungsfrequenz ω_0 ist diejenige Frequenz, bei der N verschwindet
oder $\tan \varphi = 0$.
Die Frequenz ω_0 ist diejenige Frequenz, bei der $u = 0$ und $v = 0$
d.h. $\omega_0 = \sqrt{\frac{1}{N^2} - 1}$

Bei $\omega = \omega_0$ ist $\varphi = 0^\circ$.
Bei $\omega = \omega_0 + \Delta\omega$ ist $\varphi = \pm 45^\circ$.
Bei $\omega = \omega_0 + 2\Delta\omega$ ist $\varphi = \pm 90^\circ$.

(siehe Dörfler, 9-26 bis 9-28)